

名古屋工業大学 正員 中井照夫
 フ 松岡元
 学生員 木下義久

地盤の応力変形解析をおこなうにあたり、往復応力往路下の土の応力～ヒズミ関係を適確に評価した構式を導入することが大切である。本研究は平面ヒズミ状態の土のヒズミゲン断によるヒズミと圧密によるヒズミ、そして弾性ヒズミの和として表わされるとして導かれた一般座標系での応力～ヒズミ関係に基づいて排水時および非排水時の有限要素解析をおこなったものである。まず平面ヒズミ条件下の砂、シルトの要素について解析の妥当性を検討し、次に盤土荷重を受けた二層地盤を対象として解析をおこない現場実測値と比較検討した。

1. 一般座標系での応力～ヒズミ関係^{1,2)}

一般座標系でのセン断(応力比の変化)によるヒズミ増分 $\{\delta\epsilon_s\}$ 、および圧密(平均有効主応力の変化)によるヒズミ増分 $\{\delta\epsilon_c\}$ は、Mobilization面上のヒズミ増分 $\{\delta\epsilon_s^*\}$ 、 $\{\delta\epsilon_c^*\}$ とヒズミ増分の変換マトリックス $[T]$ を用いて次式で与えられる。

$$\{\delta\epsilon_s\} = [T] \{\delta\epsilon_s^*\} = [T] \begin{bmatrix} E_1 \\ G_1 \end{bmatrix} dX = [T] \{E_s\} dX \quad \dots (1), \quad \{\delta\epsilon_c\} = [T] \{\delta\epsilon_c^*\} = [T] \begin{bmatrix} E_2 \\ G_2 \end{bmatrix} dX = [T] \{E_c\} dX \quad \dots (2)$$

ここに G_1 、 E_1 はMobilization面上のセン断による成分を表わし、 G_2 、 E_2 は圧密による成分を表わしている。各々、有効応力と土質パラメータ(平均主応力一定試験および等方、 K_0 圧密試験より決めることが可能)の関数として次式で与えられる。
 $G_1 = \frac{r_o}{\mu'-\lambda} \exp\left(\frac{X-\lambda}{\mu'-\lambda}\right) \dots (3), \quad E_1 = \frac{\lambda-X}{\lambda} \cdot G_1 \dots (4), \quad G_2 = \frac{0.43K_0C_s}{\sigma_m'} \left\{ \exp\left(\frac{X-\lambda}{\mu'-\lambda}\right) - \exp\left(\frac{-\lambda}{\mu'-\lambda}\right) \right\} \dots (5)$

$$E_2 = \frac{\lambda-X}{\lambda} \cdot G_2 + \frac{0.43K_0(C_c-C_s)}{2(1+\epsilon_0)\sigma_m'} \dots (6) \quad \text{(ここに, } r_o = r_{o1} + C_d \log_{10}\left(\frac{\sigma_m'}{\sigma_{m1}}\right) \dots (7) \text{ であり, } \epsilon_0 \text{ は } K_0 \text{ 値より決定できる)}$$

また X はMobilization面上のセン断直角有効応力比 $X = \frac{r_o}{\sigma_m'}$ 、 σ_m' は有効平均主応力 $\sigma_m' = (r_o + r_i)/2$ を示してあり。
 dX 、 $d\sigma_m'$ も一般有効応力 $(r_o', \sigma_m', \epsilon_{xy})$ の関数として次式で示される。

表-1. 土質パラメーター

$$dX = A_1 d\sigma_m' + A_2 d\sigma_o' + A_3 d\epsilon_{xy} = \{a\}_1^T \{d\sigma'\} \dots (8), \quad d\sigma_m' = \frac{1}{2}(d\sigma_o' + d\sigma_o) = \{b\}_1^T \{d\sigma'\} \dots (9)$$

よって $\{\delta\epsilon_s\}$ 、 $\{\delta\epsilon_c\}$ を塑性ヒズミ増分と考え、主応力と主ヒズミ増分方向が一致すると仮定すれば、 $[T]$ は応力の関数で定義され、各々のヒズミ増分は次式で一般表示される。

$$\{\delta\epsilon_s\} = [T] \{E_s\} \{a\}_1^T \{d\sigma'\} \dots (10), \quad \{\delta\epsilon_c\} = [T] \{E_c\} \{b\}_1^T \{d\sigma'\} \dots (11)$$

一方、弾性ヒズミ増分 $\{\delta\epsilon_e\}$ は等方弾性式を適用することにより $\{\delta\epsilon_e\} = [D_e]^{-1} \{d\sigma'\} \dots (12)$ で与えられ、ボアソン比 ν_e 、弾性係数 E_e は K_0 値と膨張指數 C_s を用いて次式で決定される。

$$\nu_e = \frac{K_0}{(1+K_0)} \dots (13), \quad E_e = 3(1+2\nu_e)(1+\epsilon_0)\sigma_m'/0.43K_0C_s \dots (14)$$

したがって全ヒズミ増分 $\{\delta\epsilon\}$ はセン断項、圧密項、弾性項の和として(10)、(11)、(12)より次式で決定される。

$$\{\delta\epsilon\} = \{\delta\epsilon_s\} + \{\delta\epsilon_c\} + \{\delta\epsilon_e\} = [D]^{-1} \{d\sigma'\} \dots (15)$$

なお上式において、 $\{\delta\epsilon_s\} = 0$ ($dX \leq 0$)、 $\{\delta\epsilon_c\} = 0$ ($d\sigma_m' \leq 0$)となるが、

(15)式は容易に $\{\delta\epsilon\} = [D] \{\delta\epsilon\} \dots (16)$ なる陽形への変換が可能である²⁾。

2. 解析結果と考察

FE解析は(15)式の応力ヒズミマトリックス $[D]$ を用いて増分法でおこない。

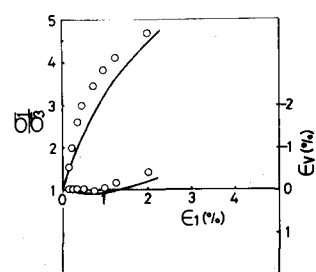


図-1. 砂の応力～ヒズミ関係

さらに非排水時の解析はChristianの方法⁴⁾によりおこなった。

対象とした地盤は台形盛土荷重を受ける、盛土中央から距離60m、深さ20mの二層地盤（上層11m砂、下層9mシルト）であり、現位置より採取された試料の平均主応力一定試験および圧密試験より得られる土質パラメーターを表-1に示す。

図-1,2は現地盤の砂およびシルトの平面ヒスミ条件下の排水せん断試験（平均主応力 $\sigma_3 = 2.0 \text{ kN/cm}^2$ ）の実測値（プロット）とFE解析結果（実線）を示したものである。なお実測値は三軸圧縮試験結果を複合ひずみひずみ概念を用いて平面ヒスミ条件下ヒスミに換算している。両図より解析結果が砂およびシルトのダイレイタントー特性をよく説明し、実測値とよい対応を示している。図-3,4は砂およびシルトの平面ヒスミ条件下の非排水せん断試験（ $\sigma_3 = 2.0 \text{ kN/cm}^2$ ）の有効応力経路の解析値（実線）を $(\sigma_1 + \sigma_3)/2 - (\sigma_1 - \sigma_3)/2$ 関係で示したものである。砂についてはせん断応力の増加に伴ない、はじめ $(\sigma_1 + \sigma_3)/2$ が減少した後破壊線にとって増加する有効応力経路となり密な砂の特性をよく示している。他方、シルトについては $(\sigma_1 + \sigma_3)/2$ が減少して破壊に至っており、正規圧密粘土の排水時有効応力経路とよく対応している。

次に現地盤を50個の四角形要素に分割し、台形盛土荷重を受けた地盤の排水時および非排水時のFE解析結果を示す。地盤は飽和状態にあると考えられ、その初期応力は有効単位体積重量 γ とK₀比より求めている。図-5は最大盛土荷重13.5t/m²を受けた場合の排水条件下（載荷後長時間経過）での、垂直変位と側方変位の実測値（実線）と解析値（破線）を示している。同図より解析値は、垂直変位において実測値より大きめであるが、実測値とよい対応を示し、また側方変位破線が下限の形になる傾向を説明している。

図-6は最大盛土荷重9.0t/m²を受けた場合の非排水条件下（載荷直後）の実測値（実線）と解析値（破線）を示したものである。同図において、盛土直下の垂直変位はより対応を示すが、盛土周辺の地表面の垂直変位の傾向が異なるのは、解析では二重非排水条件（体積ヒズミ=0）としているため陸きるのにに対し、現地盤では上部砂層のため向けた水压が消散を伴ない低下していると考えられる。また側方変位について解析値は大きく計算しているが、地表面近くを走るほど変位が大きくなる実測値の傾向と対応している。

なお、計算には名工大 HITAC-M160-II、および名大 F4 COM-230-75を使用した。最後に實重を現場データを提供していたいたい川崎製鉄、富永真生課長、橋本正治氏に謝意を表します。

参考文献

- 1) 中井利樹編著：土の応力ヒズミ関係に基づいたFE解析、第1回土質工学会、1976
- 2) 松原義久・中井：土のダイレイタントー考慮した地盤の有限要素解析、土木学会論文集第35号
- 3) 松原：3主応力下の土の応力ヒズミ関係について、東大助成年報、1973
- 4) Christian: Undrained stress distribution by numerical method, ASCE Vol 99 / 1973
- 5) 密水透水性粘土による二層地盤の変位制限について(付2版)、第1回土質工学会、1974

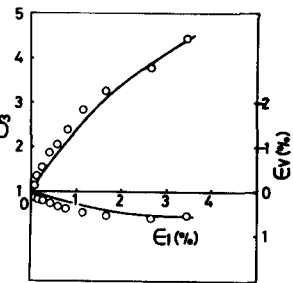


図-2. シルトの応力ヒズミ関係

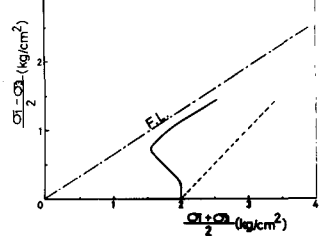


図-3. 砂の有効応力経路図

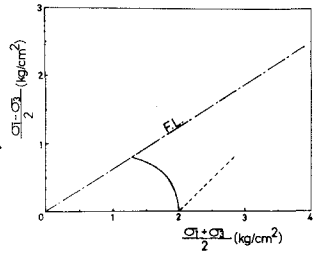


図-4. シルトの有効応力経路図

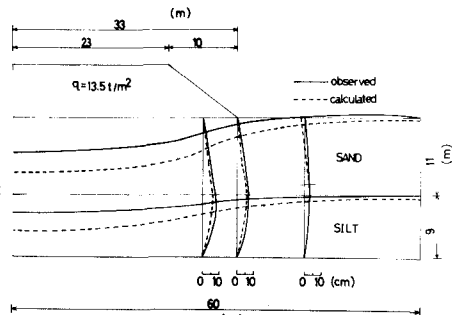


図-5. 排水時の沈下量と側方変位

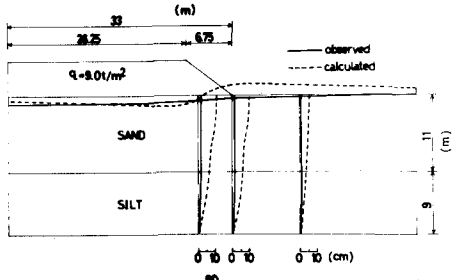


図-6. 非排水時の沈下量と側方変位